

NAMICS
ARCTION COMPLICATED
ON DISTURBANCES

ts with myocardial infarction (MI) had (REG). In cases of MI compared there was a reliable interhemispherical tone; the cerebral blood supply most affected hemisphere there was ssel period in patients with MI the emisphere with disturbance in cereb- patients with MI the REG signs of es are levelled. REG investigations ve reactions of cerebral vessels and background of cerebral atherosclero- w and affect its circulation severely.

УДК 612.13+481.39

Б. Л. Палец

НЕКОТОРЫЕ ЗАКОНОМЕРНОСТИ БАРОРЕФЛЕКТОРНОЙ РЕГУЛЯЦИИ ГЕМОДИНАМИКИ. ИССЛЕДОВАНИЯ С ПОМОЩЬЮ МАТЕМАТИЧЕСКОЙ МОДЕЛИ

В основу большинства математических моделей кровообращения легла барорефлекторная регуляция гемодинамики [1, 3, 5, 11]. Модели показали в ряде ситуаций хорошее совпадение с данными экспериментов, однако структура и количественные характеристики регуляторов в этих моделях носят в значительной мере эвристический характер, предполагаются неизменными и независимыми от высших вегетативных центров. В этом плане предложенные модели вызывают серьезные возражения.

Мы поставили задачу на основании анализа результатов экспериментальных исследований выдвинуть предположение о структуре и характеристиках модели управления системной гемодинамикой, построенной на вышеуказанным принципе. Здесь будут рассмотрены только статические режимы в состояниях поверхностного наркоза, у неанестезированных собак в покое и при умеренной физической нагрузке — бег в третбане со скоростью 6,5—7 км/ч. Экспериментальный материал, использованный в работе, получен под руководством О. И. Лиссовой [4].

1. *Модель объекта управления, управляемые параметры.* В соответствии с ранее проведенными исследованиями саморегуляции сердца и данными литературы, статическая модель объекта управления — сердечно-сосудистой системы — была представлена в виде следующей системы уравнений, описывающих насосную функцию правого ($j=1$) и левого ($j=2$) желудочков сердца, гемодинамику малого круга (легочные артерии и вены, $i=1, 2$) и большого круга кровообращения (аорта, артерии, системные вены, полые вены, $i=3, 4, 5, 6$)

$$Q = a_1 P_6 + b_1 = a_2 P_2 + b_2 = (P_i - P_{i+1})/R_i, \quad i = 1, 3, 4, 5 \quad (1)$$

$$P_i = (v_i - u_i)/C_i \quad (2)$$

$$V_{\Sigma} = \sum_{i=1}^6 v_i \quad (3)$$

$$a_j = k C_j (1 - A_j)/(1 - (1 - k) A_j) T \quad (4)$$

$$b_j = (k u_j - u_0) (1 - A_j)/(1 - (1 - k) A_j) T \quad (5)$$

$$A_j = \exp(-\tau_d/R_j C_j), \quad j = 1, 2 \quad (6)$$

$$\tau_d = a_3 T - (1 - k) b_3 \quad (7)$$

$$T = 60/F \quad (8)$$

$$v_4 = v_3 = (QT(2 - k) + 2u_0)/2k \quad (9)$$

$$R_1 = a_4 - b_4 P_1 \quad (10)$$

где Q — см³/с — суммарный кровоток, P — мм рт. ст.— давление крови, v — см³ — объем крови, R — мм рт. ст.·с/см³ — сопротивление сосудов кровотоку, u — см³ и C — см³/мм рт. ст.— ненапряженный объем и растяжимость соответственно, V_{Σ} — суммарный объем крови в сосудистом русле, F — частота сердечных сокращений, k — инотропный коэффициент сердца, определяющий ударный объем при данном конечно-диастолическом наполнении (экспериментальным аналогом этой величины является изгоняемая фракция).

Таблица 1
Константы математической модели сердечно-сосудистой системы собаки

Сердце						Сосудистое русло							
t	C	u	$R \cdot 10^2$	$a_4 \cdot 10$	$b_4 \cdot 10$	i	$C \cdot 10$	u	R	t	$C \cdot 10$	u	R
1	12	40	3,5	8,8	3,3	1	6,7	25	$f(P_1)$	4	5,5	110	*
2	7	10	3,5	8,8	3,3	2	77	130	—	5	166	*	0,06
						3	2,1	42	0,1	6	166	380	—

Взаимосвязь между кровотоком, давлениями и объемами крови в участках замкнутой системы описывается уравнениями (1—3). Формулы (4—8) определяют зависимость насосной способности сердца от частоты его сокращений и инотропного состояния. При этом учтена положительная связь длительности диастолы (t_d) с длительностью сердечного цикла (T) и инотропным состоянием сердца. Объем крови в желудочках принят равным полусумме конечно-диастолического и остаточного объемов (9). Сопротивление легочных артериальных сосудов (R_1) представлено убывающей функцией давления в них (P_1). Детальное обоснование модели дано в монографии [1].

Ряд параметров модели был принят постоянным в соответствии с данными литературы, экстраполированными для собак со средним весом 20 кг (табл. 1). Исходный общий объем крови V_{Σ} принят равным 1350 см³, $a_4=0,72$ мм рт. ст.·с/см³, $b_4=0,03$ с/см³.

В качестве управляемых параметров, участвующих в регуляции центральной гемодинамики, были выбраны частота сердечных сокращений (F), инотропный коэффициент сердца (k), сопротивление артерий (R_4) и ненапряженный объем системных вен (u_5).

Нами использованы результаты опытов на собаках, в которых были получены зависимости минутного объема крови ($MOK=60 \cdot Q$), среднего системного артериального ($P_A=P_3$) и венозного ($P_V=P_6$) давлений и F от умеренных изменений V_{Σ} (в среднем ± 200 мл) при различных состояниях животного. Управляемые параметры модели (k, F, R_4, u_5) вычислялись из данных опытов.

$R_4=(P_3-P_6)/Q=R_3-R_5$, k и u_5 определялись посредством решения системы уравнений (1—10) при заданных экспериментальных значениях Q, P_3, P_6, F . Вычисления проводились на ЦВМ БЭСМ-6 с погрешностью не более 0,3 %.

Методика экспериментальных исследований описана в монографии [4]. Из общего числа опытов здесь выбраны те, в которых изменения общего объема крови приводили к совпадающим с ними по направлению установившимся отклонениям среднего артериального давления.

Усредненные исходные данные экспериментов и вычисленные параметры модели приведены в табл. 2.

Некоторые закономерности бароре

2. Структура и параметры управляемых параметров кровообращения направлены так, чтобы давления (P_A). Таким образом динамикой в рассматриваемой системе слежения за заданными ляторными характеристиками

Рис. 1. Статические зависимости гулируемых параметров кровообращения от среднего артериального давления (P_A) в хронических тах на собаках.

F — частота сердечных сокращений, инотропное состояние сердца, R_4 — сопротивление артерий, u_5 — ненапряженный объем вен. a — норма, покой; b — постинъектарный наркоз; c — физическая

действий $a=\{k, F, R_4, u_5\}$. Как видно из рисунка, в смотренных ситуациях существует

Наиболее спорным моментом является вопрос об «у

Гемодинамические переменные, регулятора артериального давления на сб

Состояние	Гемодинамика	
	ΔV_{Σ} мл	P_A мм рт. ст.
Покой $n=7$	0	114,0
	+200	118,5
	-200	110,5
Физическая нагрузка $n=8$	0	131,0
	+200	137,5
	-200	115,0
Морфиновый наркоз $n=12$	0	116,0
	+200	122,0
	-200	111,0

Б. Л. Палец

P — мм рт. ст.— давление кро-
т. ст. \cdot с/см 3 — сопротивление со-
рт. ст.— ненапряженный объем
уммарный объем крови в сосу-
окращений, k — инотропный ко-
нечный объем при данном конеч-
ментальном аналогом этой ве-

Таблица 1
Сосудистое русло

u	R	i	$C \cdot 10$	u	R
25	$f(P_1)$	4	5,5	110	*
130	—	5	166	*	0,06
42	0,1	6	166	380	—

влениями и объемами крови в уравнениями (1—3). Фарасонной способности сердца от состояния. При этом учтена астолы (t_a) с длительностью состоянием сердца. Объем крови из конечно-диастолического и легочных артериальных сосудов давления в них (P_1). Детрафии [1].

постоянным в соответствии с для собак со средним объемом крови V_z принят равным 03 с/см 3 .

в, участвующих в регуляции частота сердечных сокращений (k), сопротивление артериальных вен (u_5). Статистика на собаках, в которых было объема крови ($МОК=60 \cdot Q$), (P_3) и венозного ($P_V=P_6$) V_z (в среднем ± 200 мл) приводимые параметры моделирования.

делялись посредством решения экспериментальных значений а ЦВМ БЭСМ-6 с погрешно-

ваний описана в монографии даны те, в которых изменения дающим с ними по направлению артериального давления. Применяется и вычисленные па-

2. Структура и параметры регулятора. Как видно из табл. 2, реакции управляемых параметров системы при изменениях общего объема крови направлены так, чтобы уменьшить отклонение артериального давления (P_A). Таким образом, систему управления системной гемодинамикой в рассматриваемых ситуациях можно представить как систему слежения за заданным уровнем (P_A). На рис. 1 приведены регуляторные характеристики системы — зависимости управляемых воз-

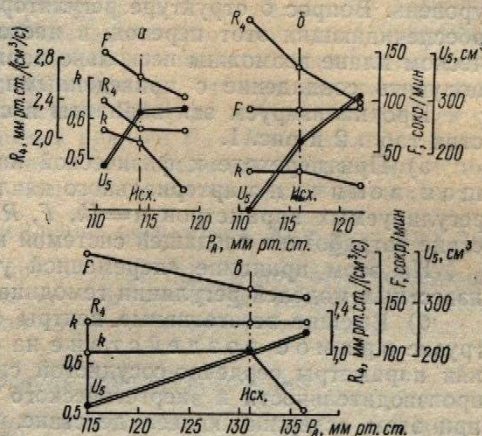


Рис. 1. Статические зависимости регулируемых параметров кровообращения от среднего артериального давления (P_A) в хронических опытах на собаках.

F — частота сердечных сокращений, k — инотропное состояние сердца, R_4 — сопротивление артерий, u_5 — ненапряженный объем вен. a — норма, покой; b — поверхностный наркоз; c — физическая нагрузка.

действий $a=\{k, F, R_4, u_5\}$ от выходной регулируемой величины P_A . Как видно из рисунка, характеристики регулятора — $a(P_A)$ — в рассмотренных ситуациях существенно различаются.

Наиболее спорным моментом в рассматриваемом принципе управления является вопрос об «уставке» или «заданной» величине артериаль-

Таблица 2

Гемодинамические переменные, управляемые параметры и коэффициенты усиления регулятора артериального давления в различных состояниях организма (данные опытов на собаках и математической модели)

Состояние	Гемодинамические переменные			Регулируемые параметры				Коэффициенты усиления $K_\alpha = \frac{\Delta \alpha}{\Delta P_A}$				
	ΔV_z мл	P_A мм рт. ст.	P_V мм рт. ст.	Q , см 3 /с	F сокр./мин	R_4 ед. сопр.	k	u_5 см 3	K_F	$K_\alpha \cdot 10^4$	K_u	$K_R \cdot 10^4$
Покой $n=7$	0	114,0	4,0	48,3	120	2,1	0,54	271	—	—	—	—
	+200	118,5	7,0	48,3	100	2,1	0,42	281	5,0	27	2	0
	-200	110,5	2,8	43,3	144	2,3	0,57	164	6,6	9	31	6
Физическая нагрузка $n=8$	0	131,0	4,4	83,2	162	1,3	0,64	202	—	—	—	—
	+200	137,5	6,7	86,0	155	1,3	0,48	239	1,1	25	5,6	0
	-200	115,0	3,3	74,0	197	1,3	0,64	92	2,2	0	7	0
Морфинный наркоз $n=12$	0	116,0	5,0	38,3	90	2,7	0,48	215	—	—	—	—
	+200	122,0	6,5	45,0	92	2,4	0,44	309	0	6,7	15,5	5,5
	-200	111,0	4,3	31,7	90	3,2	0,48	80	0	0	27,0	9,4

ного давления (P_N). Являясь результатом теоретического обобщения, эта величина, по-видимому, не может быть непосредственно измерена. Характерный излом зависимостей $\alpha(P_A)$, отражающий различную чувствительность регулируемых параметров к снижению и повышению P_A , позволяет предположить, что P_N близко к исходному уровню P_A , по крайней мере в покое и при наркозе (рис. 1, а, б).

При физической нагрузке P_A переходит на новый, более высокий уровень. Вопрос о структуре регулятора и управляющих воздействиях, обеспечивающих этот переход, в настоящее время спорен. В теоретическом плане возможны несколько вариантов, формально позволяющие получить совпадение с приведенными экспериментальными данными.

Проанализируем эти варианты в свете количественных характеристик табл. 2 и рис. 1.

а) При переходе к физической нагрузке увеличивается задающая величина артериального давления (P_N), и изменения вектора регулируемых параметров $\alpha = \{k, F, R_4, u_5\}$ происходят только вследствие «отработки» следящей системой нового уровня P_N .

На этом принципе «переменной уставки» построено большинство известных моделей регуляции гемодинамики.

б) Высшие вегетативные центры оказывают при физической нагрузке прямое воздействие на симпатические эффеरенты, изменяя параметры сердечно-сосудистой системы в сторону повышения ее производительности и энергетического уровня. Барорефлекс оказывает при этом «сдерживающее» действие, препятствуя чрезмерному повышению P_A . Собственно слежение за P_A наблюдается только в покое, повышения P_N при нагрузке не происходит, или по крайней мере роль этого фактора несущественна.

в) При нагрузке снижаются коэффициенты усиления барорефлекса, что приводит к росту P_A , очевидно, это возможно, если уже в исходном состоянии $P_A > P_N$.

Рассмотренные три варианта являются схематическим представлением точек зрения различных исследователей на роль барорефлексов в регуляции кровообращения [6, 8, 10].

Анализ регуляторных характеристик, приведенных на рис. 1, позволяет утверждать, что ни одну из приведенных схем в отдельности нельзя признать удовлетворительной. Так, если принять первый вариант, то при продолжении полученных при нагрузке зависимостей $\alpha(P_A)$ на рис. 1, вправо они должны пересечь горизонтали, соответствующие значениям k , F и u_5 в покое, при одном и том же P_A , равном значению P_N при нагрузке. Это очевидно, не имеет места, разброс этих точек достаточно велик (от 135 до 170 мм рт. ст.).

Таким образом, по-видимому, изменение вектора α происходит не только вследствие «отработки» повышенного P_N , но и в результате прямых воздействий со стороны высших вегетативных центров (ВВЦ).

Однако, объяснить реакции параметров сердечно-сосудистой системы только прямыми воздействиями со стороны ВВЦ без повышения P_N (второй вариант) также вряд ли возможно. Расчеты на основании данных рис. 1 показывают, что для того, чтобы обеспечить (с учетом сдерживающего действия барорефлекса) наблюдаемое при физической нагрузке повышение F и снижение u_5 , ВВЦ должны оказывать на эти параметры воздействия соответственно в два и три раза более интенсивные. Трудно представить, что в высокоорганизованной иерархической системе, какой, очевидно, является система управления кровообращением, уже при умеренной нагрузке возникают столь резкие противоречия между высшими и низшими уровнями регуляции.

Аналогичные расчеты соответствуют действителю.

Можно, по-видимому, реа-
кция кровообращения
в соответствии со схемой, об-
щая с ней, имеет место и пови-
дения P_N , и прямые возде-
дов, и, наконец, перестра-

Предполагая, что э-
мы приняли во всех ра-
венных заданному. Это
ческой нагрузке прямые
 α , обеспечивают в уста-
отклонению (барорефл-
ексивает слежение за

ΔV_Σ). Тогда коэффици-
 ΔP_A отклонения F, k, R
чений в ответ на изме-
образом K_α приведены

Обсуждение

Рассмотрение регу-
лирующих коэффициентов усиления
взаимосвязей.

Первое, что следу-
ет отметить, это то, что реальность параметров
изменения ΔP_A характерна для реальной системы. Для реальной системы, в которой реальные параметры α и P_A являются функциями времени, это означает, что реальная система должна реагировать на изменения ΔP_A с определенной задержкой. Важно отметить, что реальная система должна реагировать на изменения ΔP_A с определенной задержкой, так как реальная система не может реагировать мгновенно на любые изменения в окружающей среде. Реальная система должна реагировать на изменения ΔP_A с определенной задержкой, так как реальная система не может реагировать мгновенно на любые изменения в окружающей среде.

У наркотизированного организма, так что по-
против 3 % в покое).
ния чувствительности
в этом резко возрастает.
 K_u — при наркозе пре-
учесть, что констрикция
наркозе u_5 снижена и
ухудшение барорефл-
сохраняется, благода-
гулятора.

Еще более очевидно
при переходе к физи-
ческому состоянию из-
лиятора к ΔP_A снижа-
ется из-за P_A . Иссле-
дования показывают,

татом теоретического обобщения, быть непосредственно измерена. P_A , отражающий различную чувствительность к снижению и повышению P_A , что к исходному уровню P_A , по рис. 1, а, б).

ходит на новый, более высокий уровень и управляющих воздействиях, оящее время спорен. В теоретико-модельных, формально позволяющих экспериментальными данными, свете количественных характеристи-

нагрузке увеличивается задающиеся (P_N) , и изменения вектора α, u_5 происходят только вследствием уровня P_N .

стакни» построено большинство мики.

оказывают при физической на- симпатические эfferенты, изме- стемы в сторону повышения ее уровня. Барорефлекс оказывает препятствуя чрезмерному повы- а наблюдается только в покое, одит, или по крайней мере роль

коэффициенты усиления барорефлек- это возможно, если уже в ис-

ится схематическим представле- ателей на роль барорефлексов

к, приведенных на рис. 1, по- нивенных схем в отдельности ик, если принять первый вари- и нагрузке зависимостей $\alpha(P_A)$ горизонтали, соответствующие и том же P_A , равном значению места, разброс этих точек до-).

ение вектора α происходит не- зенного P_N , но и в результате вегетативных центров (ВВЦ). тров сердечно-сосудистой си- стороны ВВЦ без повышения можно. Расчеты на основании, чтобы обеспечить (с учетом наблюдаемое при физической ВЦ должны оказывать на эти два и три раза более интен- координированной иерархиче- я система управления крово- возникают столь резкие про- винами регуляции.

Аналогичные расчеты показывают, что и третий вариант вряд ли соответствует действительности.

Можно, по-видимому, с достаточной уверенностью полагать, что реакции кровообращения на физическую нагрузку протекают в соответствии со схемой, объединяющей все три рассмотренных варианта. Т. е. имеет место и повышение заданного уровня артериального давления P_N , и прямые воздействия ВВЦ на функцию сердца и тонус сосудов, и, наконец, перестройка характеристик барорефлекса.

Предполагая, что эти процессы достаточно четко координированы, мы приняли во всех рассматриваемых режимах исходное значение P_A равным заданному. Это означает, например, что при переходе к физической нагрузке прямые воздействия ВВЦ на составляющие вектора α , обеспечивают в установившемся режиме $P_A = P_N$. Регулирование по отклонению (барорефлекс) проявляется в переходном режиме и обеспечивает слежение за P_A при внешних возмущениях (в наших опытах ΔV_z). Тогда коэффициенты усиления регулятора $K_\alpha = \frac{\Delta \alpha}{\Delta P_A}$, где $\Delta \alpha$ и ΔP_A отклонения F, k, R_4, u_5 и артериального давления от исходных значений в ответ на изменения общего объема крови. Вычисленные таким образом K_α приведены в правой части табл. 2.

Обсуждение результатов исследований

Рассмотрение регуляторных характеристик $\alpha(P_A)$ и таблицы коэффициентов усиления выявляет весьма сложный характер регуляторных связей.

Первое, что следует отметить, это заметное различие в чувствительности параметров к повышению ($+ \Delta P_A$) и снижению ($- \Delta P_A$) артериального давления. Особенно повышенная чувствительность к $- \Delta P_A$ характерна для состояния покоя. При физической нагрузке дифференцированность регуляторных связей снижена, а при наркозе — исчезает. В покое реакции на $+ \Delta P_A$ осуществляются исключительно сердечными факторами (k и F). Сосудистые факторы практически «выключены» из регуляции, что по крайней мере для u_5 можно объяснить весьма малым дилататорным резервом вен. Отметим, что переход к физической нагрузке и наркозу связан, как видно из табл. 2, с повышением тонуса емкостных сосудов (снижение u_5). При этом возрастает участие последних в дилататорных реакциях на $+ \Delta P_A$ (K_u^+ при наркозе и нагрузке существенно выше, чем в покое).

У наркотизированных животных сердечный компонент регуляции ослаблен, так что по расчетам $K_F \approx 0$, $K_k \approx 0$. Однако погрешность поддержания P_A при изменениях объема крови почти не возрастает (5 % против 3 % в покое). Эта компенсация происходит вследствие повышения чувствительности сосудистых параметров (R_4 и u_5) к ΔP_A . При этом резко возрастают K_u^+ и K_R^+ , K_R^- также несколько возрастает. K_u^- при наркозе практически тот же, что и в покое, особенно, если учесть, что констрикторный резерв емкостных сосудов уменьшен (при наркозе u_5 снижен на 20 %). Таким образом, несмотря на некоторое ухудшение барорефлекторной регуляции при наркозе, слежение за P_A сохраняется, благодаря целесообразному изменению характеристик регулятора.

Еще более очевидное изменение этих характеристик имеет место при переходе к физической нагрузке. В целом чувствительность регулятора к ΔP_A снижается, следствием чего является рост погрешности слежения за P_A . Исключение составляет K_u^- , который возрастает при

нагрузке, возможная причина этого отмечалась выше. По-видимому, определенную роль в уменьшении K_a при нагрузке играет уменьшение функциональных резервов регулируемых параметров. Однако, имеет место и специфическая перестройка регулятора.

Прежде всего обращает на себя внимание «выключение» такого мощного регулятора P_A , каковым является периферическое сопротивление. Причина этой перестройки, возможно, состоит в том, что большая часть минутного объема при нагрузке приходится на сосуды скелетных мышц, которые при этом становятся нечувствительными к симпатическим влияниям. Использование в барорефлекторной регуляции

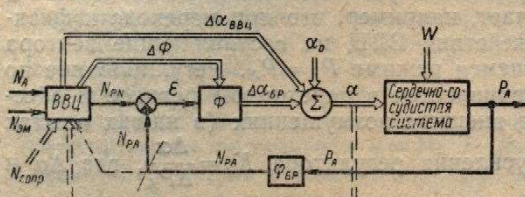


Рис. 2. Принципиальная блок-схема барорефлекторной регуляции системной гемодинамики.

Двойными линиями обозначены векторы: $\alpha = \{F, k, R_A, u_s\}$ — вектор управляемых параметров, α_0 — «базальный» уровень α , W — возмущающее воздействие на сердечно-сосудистую систему, N_{COPR} — факторы физической нагрузки и эмоционального состояния, N_{PN} — заданный уровень P'_A , N_{PA} — барорецепция, Φ — характеристики артериальных барорецепторов.

сосудов с меньшей фракцией минутного объема, потребовало бы соответственно значительной конструкции сосудов внутренних органов, что могло отрицательно сказаться на их кровоснабжении.

Как видно из табл. 2 и рис. 1, участие инотропного состояния сердца в барорефлекторных реакциях при нагрузке обладает характерной особенностью, представляющейся на первый взгляд парадоксальной. На снижение артериального давления k не реагирует ($K_k = -0$). В то же время рост P_A вызывает существенное рефлекторное снижение инотропного состояния сердца. Такая характеристика регуляторной связи представляется однако целесообразной. Действительно, насосная способность сердца является основным фактором, ограничивающим производительность системы кровообращения при физических упражнениях [2]. При увеличении общего объема крови целесообразно снизить инотропный уровень сердца (k), увеличив таким образом его функциональный резерв за счет большего использования механизма гетерометрической саморегуляции. В то же время уменьшение венозного возврата при кровопускании делает малоэффективным повышение инотропного состояния сердца для поддержания P_A .

Таким образом, отмеченные изменения коэффициентов усиления регуляторных связей представляются целесообразными. По-видимому, характеристики барорефлекса являются объектом управления со стороны высших вегетативных центров регуляции кровообращения. В последние годы это предположение подтверждается рядом экспериментальных работ [6, 9, 12].

В соответствии с вышесказанным принципиальная блок-схема регуляции центральной гемодинамики может быть представлена в виде комбинированной следящей системы с переменными параметрами регулятора (рис. 2). В этой схеме параметры сердечно-сосудистой системы определяются прямыми воздействиями ВВЦ на сердце и сосуды ($\Delta \alpha_{BVC}$), влиянием барорефлекторного контура ($\Delta \alpha_{BP}$) и управляющими действиями ВВЦ на характеристики последнего ($\Delta \Phi$). Для организации этих действий ВВЦ, по-видимому, должны располагать информацией как о регулируемой величине (P_A), так и об управляемых па-

Some qualities of baroreflex control

раметрах (a). Процессам должного внимания при сопротивлении они представляются длительной адаптации кро-

1. Амосов Н. М., Палец Б. Л., *Физиология и гемодинамика нейрогуморальных систем*. К.: Наукова думка, 1973.
2. Карпман В. Л. Кардиальные рефлексы. Ученые конференции по физиологии, морфологии и экспериментальной медицине. Т. 1. М.: Наука, 1970, с. 180—181.
3. Кроуфорд Р. С., Раммел Дж., *Baroreceptor reflexes in the dog*. In: *Advances in cardiovascular physiology*. New York: Academic Press, 1973, 9, p. 1—20.
4. Лиссова О. И., Палец Б. Л., *Математическое моделирование рефлексов сердечно-сосудистой системы*. К.: Наукова думка, 1973.
5. Пикеринг У., Никифорук П., *Baroreceptor reflexes in the dog*. In: *Advances in cardiovascular physiology*. New York: Academic Press, 1973, 9, p. 21—40.
6. Цырлин В. А., Бравков М. А., *Baroreceptor reflexes in the dog*. In: *Advances in cardiovascular physiology*. New York: Academic Press, 1973, 9, p. 41—60.
7. Defares J. G., Osborn J. J., *Baroreceptor reflexes in the dog*. In: *Advances in cardiovascular physiology*. New York: Academic Press, 1973, 9, p. 61—80.
8. Kornell P. I., *Integrative physiology of the baroreceptor reflex*. In: *Advances in cardiovascular physiology*. New York: Academic Press, 1973, 9, p. 81—100.
9. Ninomiya I., Judy W. V., *Baroreceptor reflexes in the dog*. In: *Advances in cardiovascular physiology*. New York: Academic Press, 1973, 9, p. 101—120.
10. Sagawa K., Kumada M., *Baroreceptor reflexes in the dog*. In: *Advances in cardiovascular physiology*. New York: Academic Press, 1973, 9, p. 121—140.
11. Topham W. S., Warner H. R., *Baroreceptor reflexes in the dog*. In: *Advances in cardiovascular physiology*. New York: Academic Press, 1973, 9, p. 141—160.
12. Wilson M. F., Ninomiya I., *Baroreceptor reflexes in the dog*. In: *Advances in cardiovascular physiology*. New York: Academic Press, 1973, 9, p. 161—180.

Институт кибернетики АН УССР
Киев

SOME QUALITIES OF BAROREFLEX CONTROL

The mathematical model of the baroreflex control was obtained from the data of experiments on chronic animals. The mean arterial and venous pressure responses to total blood volume changes were used to determine the gain of the arterial baroreflex control. The model was used to calculate the gain of the arterial baroreflex control and to determine the optimal values of the arterial baroreflex control parameters.

Institute of Cybernetics,
Academy of Sciences, Ukrainian SSR

мечалась выше. По-видимому, и нагрузке играет уменьшение параметров. Однако, имеет значение.

Намение «выключение» такого периферического сопротивления, состоит в том, что больше приходится на сосуды склоняется нечувствительными к барорефлекторной регуляции.

Рис. 2. Принципиальная блок-схема барорефлекторной регуляции системной гемодинамики.

Двойными линиями обозначены векторы: $a = \{F, k, R_a, u_b\}$ — вектор управляемых параметров, a_0 — «базальный» уровень a , W — возмущающие воздействия на сердечно-сосудистую систему, $N_{\text{совр}}$ — воздействия со стороны первых регуляторов сопряженных физиологических факторов физической нагрузки $N_{\text{ФН}}$, $N_{\text{РА}}$ — барорецепция, Φ — характеристики.

объема, потребовало бы соотношений внутренних органов, что означает.

Состояние инотропного состояния и нагрузке обладает характером первого взгляда парадоксия k не реагирует ($K_k =$ действенное рефлексорное снижение характеристика регуляции — сообразной). Действительно, основным фактором, ограничивающим кровообращения при физических изменениях объема крови целесообразно, увеличив таким образом время уменьшение венозного алоэфективного повышение давления P_A .

коэффициентов усиления сообразными. По-видимому, объектом управления со стороны кровообращения. Важность ряда эксперимен-

тациональная блок-схема может быть представлена в виде измененными параметрами ре- сердечно-сосудистой системы ВВЦ на сердце и сосуды Δa и управляющими центральными ($\Delta \Phi$). Для организма должны располагать информацией и об управляемых па-

раметрах (a). Процессам перестройки регуляторов еще не уделяется должного внимания при системном анализе кровообращения. В то же время они представляются нам решающими в процессах срочной и длительной адаптации кровообращения в норме и патологии.

Литература

- Амосов Н. М., Палец Б. Л., Агапов Б. Т., и др. Теоретические исследования физиологических систем. К.: Наукова думка, 1977. 245 с.
- Карпман В. Л. Кардиальные механизмы выносливости. — Материалы XI Всесоюзной конф. по физиол., морфол., биомех. и биохимии мышечной деятельности. Свердловск, 1970, с. 180—181.
- Кростон Р. С., Раммел Дж., Кей Ф. Д. Моделирование на вычислительной машине реакции сердечно-сосудистой системы на физическую нагрузку. — Труды Амер. общества инж.-мех. Серия G, 1973, 95, № 3, с. 66—73.
- Лиссова О. И., Палец Б. Л., Береговский Б. А. Регуляция кровообращения. Экспериментальные и математические исследования. К.: Наукова думка, 1977. 157 с.
- Пикеринг У., Никифорук П., Мерримен Дж. Аналоговая модель управления сердечно-сосудистой системой. — Международный симпозиум ИФАК по техн. и биологическим проблемам управления. Ереван, 1968, с. 147—154.
- Цырлин В. А., Бравков М. Ф., Бершадский Б. Г. Характер барорецепторных рефлексов при эмоциональном напряжении у бодрствующих животных. — Физиол. журн. СССР, 1978, 64, № 5, с. 626—633.
- Defares J. G., Osborn J. J., Hara H. H. Theoretical synthesis of the cardiovascular system. — Acta physiol. et pharmacol. neerl., 1963, 12, p. 189—265.
- Korner P. I. Integrative neural cardiovascular control. — Physiol. Rev., 1971, 51, N 2, p. 312—367.
- Ninomiya I., Judy W. V., Wilson M. F. Hypothalamic stimulus effects on sympathetic nerve activity. — Am. J. Physiol., 1970, 218, N 2, p. 453—462.
- Sagawa K., Kumada M., Shoukas A. A system approach to baroreceptor reflex control of the circulation. — Austral. J. Exper. Biol. a. Med., 1973, 51, N 1, p. 32—52.
- Topham W. S., Warner H. R. The control of cardiac output during exercise. — In: Physical bases of circulatory transport. Philadelphia, 1967, p. 77—91.
- Wilson M. F., Ninomiya I., Franz Y. N., Judy W. V. Hypothalamic stimulation and baroreceptor reflex interaction on renal nerve activity. — Am. J. Physiol., 1971, 221, N 6, p. 1768—1773.

Институт кибернетики АН УССР,
Киев

Поступила в редакцию
5.II 1979 г.

B. L. Palets

SOME QUALITIES OF BAROREFLEX CONTROL OF HEMODYNAMICS. COMPUTER SIMULATIONS

Summary

The mathematical model of the cardiovascular system was used to analyze experimental data obtained in chronic experiments with dogs. Cardiac output, heart rate, mean arterial and venous pressure and systemic arterial resistance were measured as responses to total blood volume changes under conditions of slight anesthesia and in unanesthetized animals at rest and during physical exercises. The mathematical model was used to determine the heart inotropic state index, unstressed venous volume and to calculate the gain of the arterial pressure regulator. It is shown that qualities of hemodynamic baroreflex control depend on the state of animal and might change, thus ensuring the effective use of the regulatory potentialities of the system.

Institute of Cybernetics,
Academy of Sciences, Ukrainian SSR, Kiev